

**Adopted Levels, Gammas**

Type	Author	Citation	Literature Cutoff Date
Full Evaluation	D. De Frenne and A. Negret	NDS 109,943 (2008)	1-May-2007

 $Q(\beta^-)=190$  3;  $S(n)=7943$  6;  $S(p)=5813$  3;  $Q(\alpha)=-2587$  6      [2012Wa38](#)Note: Current evaluation has used the following Q record 195      8 7941      115813      3-2587 7      [2003Au03](#). **$^{106}\text{Ag}$  Levels****Cross Reference (XREF) Flags**

A	(HI,xny)	E	$^{105}\text{Pd}(^3\text{He},d)$
B	$^{103}\text{Rh}(\alpha,n\gamma)$	F	$^{106}\text{Pd}(p,n\gamma)$
C	$^{104}\text{Pd}(^3\text{He},p)$	G	$^{107}\text{Ag}(p,d)$
D	$^{104}\text{Pd}(\alpha,pn\gamma)$		

E(level) <sup>†</sup>	$J^\pi$	$T_{1/2}$	XREF	Comments
0.0 <sup>#</sup>	1 <sup>+</sup>	23.96 min 4	BCD	% $\epsilon$ +% $\beta^+$ =99.5 5; % $\beta^-$ <1 ( <a href="#">1953Be42</a> ) $\mu=+2.85$ 20 ( <a href="#">1989Ra17</a> ) $T_{1/2}$ : from $\gamma$ -decay ( <a href="#">1965Eb01</a> ). Others: 24.0 min 2 ( <a href="#">1953Be42</a> ), 24.0 min 10 ( <a href="#">1973ArZI</a> ); see also: <a href="#">1938Du01</a> , <a href="#">1938Po03</a> , <a href="#">1939En02</a> , <a href="#">1948Mo33</a> , <a href="#">1961Ra06</a> , <a href="#">1967St10</a> . $J^\pi$ : J=1 from atomic beam ( <a href="#">1958Re10</a> , <a href="#">1959Ew89</a> ). $\pi=+$ from log $ft=4.9$ to 0 <sup>+</sup> .
89.66 <sup>e</sup> 7	6 <sup>+</sup>	8.28 d 2	AB DE	% $\epsilon$ +% $\beta^+$ =100 $\mu=(+)$ 3.709 4 ( <a href="#">1989Ra17</a> ) $Q=+1.08$ 6 XREF: E(85). For B(M5)(W.u.) $\leq$ 10 and $\alpha(90\gamma)\approx$ 1200 one gets branching(IT) $\leq$ 4.2 $\times$ 10 <sup>-6</sup> %. % $\beta^-$ will be completely negligible since the only allowable branch has $\Delta J=6$ . $T_{1/2}$ : from $\beta^+$ counting ( <a href="#">1988Ry01</a> ). Others: 8.46 d 10 from $\gamma$ decay ( <a href="#">1961Sm04</a> ); 8.4 d 2 ( <a href="#">1960Ro12</a> ), 8.2 d 2 ( <a href="#">1938Po03</a> ). $J^\pi$ : J=6 from atomic beam ( <a href="#">1959Ew89</a> ). $\pi=+$ from log $ft=5.09$ to 5 <sup>+</sup> . E(level): based on E $\gamma$ from J=4 <sup>+</sup> , 503- and 712-keV states via ( $\alpha$ ,n $\gamma$ ) <a href="#">1980Sa05</a> ; other: 87.95 ( <a href="#">1975An07</a> ). Q: Weighted average of +1.11 11 ( <a href="#">1989Ra17</a> ) and +1.06 16 ( <a href="#">1989Di12</a> ) from collinear LASER spectroscopy.
110.66 <sup>#</sup> 3	(2) <sup>+</sup>		BCDE	$J^\pi$ : $\pi=+$ from L=4 ( $^3\text{He},d$ ); J=2 suggested from $\gamma$ transition to ground state. Member of probable band built on the g.s.
205.95 <sup>#</sup> 4	(3) <sup>+</sup>		BCDE	$J^\pi$ : $\pi=+$ from L=4 ( $^3\text{He},d$ ); J=(3) from strong feeding to (2) <sup>+</sup> , weak feeding to 1 <sup>+</sup> and absence of feeding to 6 <sup>+</sup> .
234.66 4	(1 <sup>+</sup> ,2 <sup>+</sup> ,3 <sup>+</sup> )		B E	$J^\pi$ : $J^\pi=(2^+)$ suggested from $\gamma$ -ray branchings to 1 <sup>+</sup> ,(3) <sup>+</sup> states.
257 3				
277.04 3	1 <sup>-</sup> ,2 <sup>-</sup>		BCDE G	$J^\pi$ : from L=2 (p,d); L=1 ( $^3\text{He},d$ ); $\gamma$ to 1 <sup>+</sup> .
328.87 8	5 <sup>+</sup>		B DE	$J^\pi$ : $\pi=+$ from L( $^3\text{He},d$ )=4. <a href="#">1980Sa05</a> note that spectroscopic strength of 330-keV excitation in ( $^3\text{He},d$ ) of <a href="#">1975An07</a> suggests a doublet, $J^\pi=5^+,7^+$ . J=5 from $\Delta J(239\gamma,M1+E2)=1$ . J=5 preferred above J=7 because excitation energy is lower than for 332-keV level.
332.66 <sup>e</sup> 8	7 <sup>+</sup>		ABCD	$J^\pi$ : $\pi=+$ from L( $^3\text{He},d$ )=4. <a href="#">1980Sa05</a> note that spectroscopic strength of 330-keV excitation in ( $^3\text{He},d$ ) of <a href="#">1975An07</a> suggests a doublet, $J^\pi=5^+,7^+$ . J=7 from $\Delta J(242\gamma,M1+E2)=1$ in $^{96}\text{Zr}(^{14}\text{N},4\text{n}\gamma)$ preferred above J=5 because excitation energy is higher than 328-keV level.
364.43 4	(2,3) <sup>-</sup>		B DE G	$J^\pi$ : $\pi=-$ from L=2 (p,d); $\gamma$ to (3) <sup>+</sup> .
389.16 4	3 <sup>+</sup>		B E	XREF: E(382).

Continued on next page (footnotes at end of table)

**Adopted Levels, Gammas (continued)** **$^{106}\text{Ag}$  Levels (continued)**

E(level) <sup>†</sup>	$J^\pi$ <sup>‡</sup>	T <sub>1/2</sub>	XREF	Comments
416.62 6	(1 <sup>-</sup> )		B	$J^\pi$ : suggested by <a href="#">1980Sa05</a> in $^{103}\text{Rh}(\alpha,\text{n}\gamma)$ .
425.04 5	(2,3) <sup>-</sup>		B E G	$J^\pi$ : suggested by <a href="#">1980Sa05</a> in $^{103}\text{Rh}(\alpha,\text{n}\gamma)$ .
449.11 <sup>#</sup> 5	(4) <sup>+</sup>		B DE	$J^\pi$ : $\pi=-$ from L=2 (p,d); $\gamma$ to (3) <sup>+</sup> . $J^\pi$ : $\pi=+$ from L=4 ( $^3\text{He},\text{d}$ ); deexcitation to (3) <sup>+</sup> state only. Member of probable band built on the g.s.
468.84 23			BC G	
503.03 4	(3 <sup>+,4,5</sup> <sup>+</sup> )		B	$J^\pi$ : suggested from deexcitation to (3) <sup>+,5<sup>+</sup></sup> states.
518.24 5	(3,4) <sup>-</sup>		B DE G	$J^\pi$ : $\pi=-$ from L=4 (p,d) and $\gamma$ to (3) <sup>+</sup> state.
542.58 9	6		B	$J^\pi$ : J=6 from $\Delta J(213\gamma,\text{D+Q})=-1$ .
556.81 <sup>#</sup> 9	(5 <sup>+</sup> )		B D	$J^\pi$ : $\gamma$ 's to 4 <sup>+,6<sup>+</sup></sup> states. Member of probable g.s. band.
565.14 5	(2,3) <sup>-</sup>		B E G	$J^\pi$ : $\pi=-$ from L=2 (p,d), L=1 ( $^3\text{He},\text{d}$ ); $\gamma$ to (3) <sup>+</sup> .
596.07 6	1 <sup>-</sup> ,2 <sup>-</sup> ,3 <sup>-</sup>		BC E G	$J^\pi$ : L(p,d)=2.
597.26 6	1 <sup>-</sup> ,2 <sup>-</sup> ,3 <sup>-</sup>		B	$J^\pi$ : From L(p,d)=2.
602.77 8	(2 <sup>-</sup> ,3 <sup>-</sup> )		B	$J^\pi$ : suggested by <a href="#">1980Sa05</a> in $^{103}\text{Rh}(\alpha,\text{n}\gamma)$ .
625.74 8	7 <sup>+</sup>		AB D	$J^\pi$ : $\pi=+$ from M1+E2 to 6 <sup>+</sup> . J=7 from $\Delta J(536\gamma,\text{M1+E2})=1$ in $^{96}\text{Zr}(^{14}\text{N},4\text{n}\gamma)$ to $J^\pi=6^+$ 89 keV level. J=7 preferred over J=5 because excitation energy is much higher than J=6 level.
661.31 8	1 <sup>-</sup>		B E G	$J^\pi$ : L=0 (p,d), L=1 ( $^3\text{He},\text{d}$ ).
676.29 6	(5 <sup>+</sup> )		B	$J^\pi$ : $\gamma$ to (4) <sup>+</sup> .
680 1	0 <sup>-</sup> ,1 <sup>-</sup>		C E G	$J^\pi$ : suggested by <a href="#">1980Sa05</a> in $^{103}\text{Rh}(\alpha,\text{n}\gamma)$ .
698.20 6	1 <sup>-</sup> ,2 <sup>-</sup> ,3 <sup>-</sup>		B G	XREF: G(696). $J^\pi$ : from L=2 (p,d).
712.15 7	(4 <sup>+</sup> )		B	$J^\pi$ : $J^\pi=4^+$ suggested by <a href="#">1980Sa05</a> in $^{103}\text{Rh}(\alpha,\text{n}\gamma)$ .
721.5 3	7 <sup>+</sup>		A	$J^\pi$ : $\Delta J(393\gamma,\text{Q})=2$ from $\gamma(\theta)$ in $^{96}\text{Zr}(^{14}\text{N},4\text{n})$ to $J^\pi=5^+$ 329 keV level. J=7 preferred above J=3 due to its position in the level scheme. $\pi=+$ because $393\gamma$ is very unlikely to be M2.
730.43 13	(2 <sup>+</sup> )		B	$J^\pi$ : suggested by <a href="#">1980Sa05</a> in $^{103}\text{Rh}(\alpha,\text{n}\gamma)$ .
741.58 9	(3 <sup>+,4</sup> <sup>+</sup> )		B	$J^\pi$ : suggested by <a href="#">1980Sa05</a> in $^{103}\text{Rh}(\alpha,\text{n}\gamma)$ .
749 2			E	
765.24 <sup>&amp;</sup> 8	6 <sup>-</sup>		ABCDE G	$J^\pi$ : from $\Delta J(436\gamma,\text{E1})=1$ in $^{96}\text{Zr}(^{14}\text{N},4\text{n})$ . E1 $\gamma$ to 6 <sup>+</sup> , $\gamma$ 's to 5 <sup>+</sup> and 7 <sup>+</sup> . Levels at 765.14 and 765.62 seen in ( $\alpha,\text{n}\gamma$ ) are considered as one level by the evaluators.
769.68 16	1 <sup>-</sup> ,2 <sup>-</sup> ,3 <sup>-</sup>		B	$J^\pi$ : $\pi=-$ from L=2 (p,d); $\gamma$ to 1 <sup>-</sup> ,2 <sup>-</sup> .
769.96 11	6		B	$J^\pi$ : from $\Delta J(441\gamma,\text{D+Q})=1$ to 328 keV ( $J^\pi=5^+$ ) level in $^{96}\text{Zr}(^{14}\text{N},4\text{n})$ .
773.50 11	(5 <sup>+</sup> )		B	$J^\pi$ : suggested by <a href="#">1980Sa05</a> in $^{103}\text{Rh}(\alpha,\text{n}\gamma)$ .
775.65 9	(4 <sup>+,5</sup> )		B	$J^\pi$ : suggested by <a href="#">1980Sa05</a> in $^{103}\text{Rh}(\alpha,\text{n}\gamma)$ .
797.48 13			B	
809 2	0 <sup>-</sup> ,1 <sup>-</sup>		G	$J^\pi$ : from L=0 in (p,d).
812.02 7	(3 <sup>-</sup> )		B	$J^\pi$ : $\gamma$ -decay pattern suggests (3 <sup>-</sup> ).
816.49 8	(4 <sup>+</sup> )		B	$J^\pi$ : $\gamma$ branchings to 3 <sup>+,5<sup>+</sup></sup> states suggest (4 <sup>+</sup> ).
829.41 <sup>a</sup> 8	7 <sup>-</sup>		AB D	$J^\pi$ : from $\Delta J(739\gamma,\text{E1+M2})=-1$ to 89 keV level ( $J^\pi=6^+$ ) in $^{96}\text{Zr}(^{14}\text{N},4\text{n})$ .
835.39 12	(2 <sup>+,3</sup> <sup>+</sup> )		B	$J^\pi$ : suggested by <a href="#">1980Sa05</a> in $^{103}\text{Rh}(\alpha,\text{n}\gamma)$ .
851 2			E	
861.58 9	(3 <sup>-</sup> ,4,5 <sup>-</sup> )		B G	$J^\pi$ : L(p,d)=4,5; $\gamma$ to (2,3) <sup>-</sup> .
874.24 <sup>&amp;</sup> 8	8 <sup>-</sup>	157 ps 31	AB DE	$J^\pi$ : from $\Delta J(541\gamma,\text{E1+M2})=-1$ to 332 keV ( $J^\pi=7^+$ ) level in $^{96}\text{Zr}(^{14}\text{N},4\text{n})$ . T <sub>1/2</sub> : from DSA in $^{96}\text{Zr}(^{14}\text{N},4\text{n}\gamma)$ ( <a href="#">1990VoZW</a> ).
881.24 9	(6 <sup>+</sup> )		B G	XREF: G(886). $J^\pi$ : deexcites to 5 <sup>+,7<sup>+</sup></sup> states.
887.68 8	(5 <sup>+</sup> )		B G	XREF: G(886). $J^\pi$ : suggested by <a href="#">1980Sa05</a> in $^{103}\text{Rh}(\alpha,\text{n}\gamma)$ .
902.98 21	1 <sup>-</sup> ,2 <sup>-</sup> ,3 <sup>-</sup>		B E G	$J^\pi$ : L(p,d)=5,6. $J^\pi$ : L=2 (p,d).

Continued on next page (footnotes at end of table)

**Adopted Levels, Gammas (continued)** **$^{106}\text{Ag}$  Levels (continued)**

E(level) <sup>†</sup>	J <sup>‡</sup>	T <sub>1/2</sub>	XREF	Comments
912.38 <i>II</i>	(5,7) <sup>-</sup>		B	J <sup>π</sup> : suggested by <a href="#">1980Sa05</a> in $^{103}\text{Rh}(\alpha,\text{n}\gamma)$ .
917.37 <i>18</i>	1 <sup>-</sup> ,2 <sup>-</sup> ,3 <sup>-</sup>		B G	J <sup>π</sup> : L=2 (p,d).
923.10 <i>13</i>	(2 <sup>+</sup> ,3 <sup>+</sup> ,4 <sup>+</sup> )		B	J <sup>π</sup> : suggested by <a href="#">1980Sa05</a> in $^{103}\text{Rh}(\alpha,\text{n}\gamma)$ .
923.66 <i>II</i>	(1 <sup>+</sup> ,2 <sup>+</sup> )		B	J <sup>π</sup> : suggested by <a href="#">1980Sa05</a> in $^{103}\text{Rh}(\alpha,\text{n}\gamma)$ .
926.6 <i>3</i>	8 <sup>-</sup>		A	
927.26 <i>10</i>	(6 <sup>+</sup> )		AB	J <sup>π</sup> : (6 <sup>+</sup> )suggested from deexcitation to (5) <sup>+</sup> , (7) <sup>+</sup> states in ( $\alpha,\text{n}\gamma$ ). In disagreement with adopted J <sup>π</sup> =8 <sup>-</sup> from (HI,xn $\gamma$ ).
933.18 <i>10</i>	(5 <sup>+</sup> )		B G	J <sup>π</sup> : L(p,d)=0 for the 933.18 and/or 936.46 levels.
936.46 <i>10</i>	0 <sup>-</sup> ,1 <sup>-</sup>		BC	J <sup>π</sup> : suggested by <a href="#">1980Sa05</a> in $^{103}\text{Rh}(\alpha,\text{n}\gamma)$ .
944.82 <i>14</i>	(2 <sup>+</sup> ,3 <sup>+</sup> ,4 <sup>+</sup> )		B	J <sup>π</sup> : L(p,d)=0 for the 933.18 and/or 936.46 levels.
950 <i>2</i>			G	J <sup>π</sup> : L(p,d)=(2).
961.76 <sup>e</sup> <i>9</i>	8 <sup>+</sup>		AB	J <sup>π</sup> : from $\Delta J(872\gamma,E2)=-2$ to 89 keV level (J <sup>π</sup> =6 <sup>+</sup> ) in $^{96}\text{Zr}(^{14}\text{N},4\text{n})$ .
971 <i>2</i>	+		E	J <sup>π</sup> : π=+ from L=(2) in ( $^3\text{He},\text{d}$ ).
979.14 <i>12</i>	8 <sup>+</sup>		AB D	J <sup>π</sup> : from $\Delta J(353\gamma,M1+E2)=-1$ to 626 keV level (J <sup>π</sup> =7 <sup>+</sup> ) in $^{96}\text{Zr}(^{14}\text{N},4\text{n})$ .
1001.87 <i>9</i>	(2 <sup>-</sup> ,3 <sup>-</sup> ,4 <sup>-</sup> )		B E	XREF: E(998).
1003.41 <i>11</i>			B E	XREF: E(998).
				Levels at 1003.4 and 1003.98 observed by <a href="#">1980Sa05</a> are considered as the same level by the evaluators, a possibility suggested by the authors.
1007 <i>I</i>	1 <sup>-</sup> ,2 <sup>-</sup> ,3 <sup>-</sup>		G	J <sup>π</sup> : from L=2 in (p,d).
1022 <i>I</i>	1 <sup>-</sup> ,2 <sup>-</sup> ,3 <sup>-</sup>		E G	J <sup>π</sup> : from L=2 in (p,d).
1043.90 <sup>a</sup> <i>10</i>	9 <sup>-</sup>	2.9 ps 8	AB D	J <sup>π</sup> : from $\Delta J(169\gamma,D+Q)=1$ to 843 keV level (J <sup>π</sup> =8 <sup>-</sup> ) in $^{96}\text{Zr}(^{14}\text{N},4\text{n})$ . T <sub>1/2</sub> : from DSA in $^{96}\text{Zr}(^{14}\text{N},4\text{n}\gamma)$ ( <a href="#">1990VoZW</a> ).
1063.18 <i>II</i>	(4 <sup>+</sup> ,5 <sup>+</sup> )		B	J <sup>π</sup> : suggested by <a href="#">1980Sa05</a> in $^{103}\text{Rh}(\alpha,\text{n}\gamma)$ .
1082 <i>2</i>	+		E	J <sup>π</sup> : L=2 in ( $^3\text{He},\text{d}$ ).
1086.86 <i>10</i>	(4 <sup>-</sup> ,5 <sup>-</sup> )		BC	J <sup>π</sup> : suggested by <a href="#">1980Sa05</a> in $^{103}\text{Rh}(\alpha,\text{n}\gamma)$ .
1106 <i>2</i>	0 <sup>-</sup> ,1 <sup>-</sup>		G	J <sup>π</sup> : from L=0 (p,d).
1106.33 <i>10</i>	(3 <sup>-</sup> ,4 <sup>-</sup> )		B	E(level): should be different from 1106-keV level because this level decays only to (4) <sup>-</sup> level.
1123.55 <i>11</i>	(5 <sup>-</sup> ,6 <sup>-</sup> )		B	J <sup>π</sup> : suggested by <a href="#">1980Sa05</a> in $^{103}\text{Rh}(\alpha,\text{n}\gamma)$ .
1133.88 <i>16</i>	(4 <sup>+</sup> )		B E	J <sup>π</sup> : suggested by <a href="#">1980Sa05</a> in $^{103}\text{Rh}(\alpha,\text{n}\gamma)$ .
1135.66 <i>12</i>	(2 <sup>-</sup> ,3 <sup>-</sup> ,4 <sup>-</sup> )		B	J <sup>π</sup> : L( $^3\text{He},\text{d}$ )=1 for 1133.83 and/or 1135.66, $\gamma$ to 5 <sup>+</sup> .
1145.06 <i>11</i>	(2 <sup>-</sup> ,3 <sup>-</sup> ,4 <sup>-</sup> )		B	J <sup>π</sup> : suggested by <a href="#">1980Sa05</a> in $^{103}\text{Rh}(\alpha,\text{n}\gamma)$ .
1150.07 <i>16</i>	(2 <sup>+</sup> ,3 <sup>+</sup> ,4 <sup>+</sup> )		BC	J <sup>π</sup> : suggested by <a href="#">1980Sa05</a> in $^{103}\text{Rh}(\alpha,\text{n}\gamma)$ .
1166.8 <i>3</i>	(2 <sup>-</sup> ,3 <sup>-</sup> ,4 <sup>-</sup> )		B	L=0+2 (p,d).
1176 <i>2</i>	1 <sup>-</sup>		G	J <sup>π</sup> : suggested by <a href="#">1980Sa05</a> in $^{103}\text{Rh}(\alpha,\text{n}\gamma)$ .
1224.67 <i>II</i>	(6,7) <sup>-</sup>		BC	J <sup>π</sup> : suggested by <a href="#">1980Sa05</a> in $^{103}\text{Rh}(\alpha,\text{n}\gamma)$ .
1230.03 <i>17</i>	(2 <sup>-</sup> ,3 <sup>-</sup> ,4 <sup>-</sup> )		B	J <sup>π</sup> : suggested by <a href="#">1980Sa05</a> in $^{103}\text{Rh}(\alpha,\text{n}\gamma)$ .
1263.13 <i>12</i>			D	
1288.98 <i>16</i>	(4 <sup>+</sup> ,5 <sup>+</sup> )		B	J <sup>π</sup> : suggested by <a href="#">1980Sa05</a> in $^{103}\text{Rh}(\alpha,\text{n}\gamma)$ .
1303.26 <i>11</i>	(5 <sup>-</sup> ,6 <sup>-</sup> ,7 <sup>-</sup> )		B	J <sup>π</sup> : suggested by <a href="#">1980Sa05</a> in $^{103}\text{Rh}(\alpha,\text{n}\gamma)$ .
1329.54 <i>16</i>	(3 <sup>-</sup> ,4 <sup>-</sup> )		B E	XREF: E(1333).
1387.58 <sup>e</sup> <i>11</i>	9 <sup>+</sup>		AB D	J <sup>π</sup> : L( $^3\text{He},\text{d}$ )=(1); $\gamma$ decay to (3,4) <sup>-</sup> state.
1398 <i>2</i>	+		E	J <sup>π</sup> : from L( $^3\text{He},\text{d}$ )=2.
1413.26 <i>11</i>	(5,6) <sup>-</sup>		ABCD	J <sup>π</sup> : suggested by <a href="#">1980Sa05</a> in $^{103}\text{Rh}(\alpha,\text{n}\gamma)$ .
1420.72 <sup>&amp;</sup> <i>11</i>	10 <sup>-</sup>	0.28 ps 8	B	J <sup>π</sup> : from $\Delta J(376\gamma,D+Q)=-1$ to 9 <sup>(-)</sup> in $^{96}\text{Zr}(^{14}\text{N},4\text{n})$ . T <sub>1/2</sub> : from DSA in $^{96}\text{Zr}(^{14}\text{N},4\text{n}\gamma)$ ( <a href="#">1990VoZW</a> ).
1434 <i>2</i>			E	J <sup>π</sup> : from L( $^3\text{He},\text{d}$ )=2.

Continued on next page (footnotes at end of table)

**Adopted Levels, Gammas (continued)** **$^{106}\text{Ag}$  Levels (continued)**

E(level) <sup>†</sup>	J <sup>‡</sup>	T <sub>1/2</sub>	XREF	Comments
1491 2	+		E	J <sup>π</sup> : L( <sup>3</sup> He,d)=2.
1533.14 15			D	
1553.01 <sup>d</sup> 16	10 <sup>-</sup>		A	
1571.95 21	9 <sup>+</sup>		A	J <sup>π</sup> : from ΔJ(946γ,Q)=-2 to 7 <sup>+</sup> in <sup>96</sup> Zr( <sup>14</sup> N,4n).
1589 2	-		E	J <sup>π</sup> : from L( <sup>3</sup> He,d)=1.
1616 2	+		E	J <sup>π</sup> : from L( <sup>3</sup> He,d)=2.
1662 2	+		E	J <sup>π</sup> : from L( <sup>3</sup> He,d)=2.
1684 2	(+)		E	J <sup>π</sup> : from L( <sup>3</sup> He,d)=(2).
1764.13 <sup>a</sup> 12	11 <sup>-</sup>	0.41 ps 8	A D	T <sub>1/2</sub> : from DSA in <sup>96</sup> Zr( <sup>14</sup> N,4nγ) ( <a href="#">1990VoZW</a> ). J <sup>π</sup> : from ΔJ(720γ,Q)=-2 to 9 <sup>(-)</sup> in <sup>96</sup> Zr( <sup>14</sup> N,4n).
1863.0 3	9 <sup>-</sup>		A	
1902.22 19	10 <sup>+</sup>		A	J <sup>π</sup> : from ΔJ(923γ,Q)=-2 to 8 <sup>+</sup> in <sup>96</sup> Zr( <sup>14</sup> N,4n).
1925.67 <sup>d</sup> 17	11 <sup>-</sup>		A	
1957.62 23	11 <sup>(-)</sup>		A	J <sup>π</sup> : from ΔJ(536γ,D+Q)=-1 to 10 <sup>(-)</sup> in <sup>96</sup> Zr( <sup>14</sup> N,4n).
2033.48 16	9 <sup>-</sup>		A	J <sup>π</sup> : from ΔJ(1204γ,Q)=-2 to 7 <sup>-</sup> 829 keV level in <sup>96</sup> Zr( <sup>14</sup> N,4n).
2114.51 <sup>e</sup> 21	10 <sup>+</sup>		A	J <sup>π</sup> : from ΔJ(1153γ,Q)=-2 to 8 <sup>+</sup> 962 keV level in <sup>96</sup> Zr( <sup>14</sup> N,4n).
2247.42 <sup>d</sup> 21	12 <sup>-</sup>		A	
2254.47 <sup>&amp;</sup> 25	12 <sup>-</sup>	0.22 ps 7	A D	T <sub>1/2</sub> : from DSA in <sup>96</sup> Zr( <sup>14</sup> N,4nγ) ( <a href="#">1990VoZW</a> ). J <sup>π</sup> : from ΔJ(833γ,Q)=-2 to 10 <sup>-</sup> in <sup>96</sup> Zr( <sup>14</sup> N,4n). J <sup>π</sup> : from ΔJ(1398γ,Q)=-2 to 8 <sup>-</sup> in <sup>96</sup> Zr( <sup>14</sup> N,4n).
2272.3 <sup>b</sup> 13	10 <sup>-</sup>		A	
2441.60 <sup>c</sup> 13	11 <sup>-</sup>		A	
2512.69 <sup>d</sup> 22	13 <sup>-</sup>		A	
2572.0 <sup>e</sup> 4	11 <sup>+</sup>		A	J <sup>π</sup> : from ΔJ(1184γ,Q)=-2 to 9 <sup>+</sup> in <sup>96</sup> Zr( <sup>14</sup> N,4n).
2660.79 <sup>b</sup> 16	12 <sup>-</sup>		A	
2745.2 <sup>a</sup> 3	13 <sup>-</sup>	0.27 ps 8	A	T <sub>1/2</sub> : from DSA in <sup>96</sup> Zr( <sup>14</sup> N,4nγ) ( <a href="#">1990VoZW</a> ). J <sup>π</sup> : from ΔJ(981γ,Q)=-2 to 11 <sup>(-)</sup> in <sup>96</sup> Zr( <sup>14</sup> N,4n).
2764.5 <sup>d</sup> 3	14 <sup>-</sup>		A	
2930.58 <sup>c</sup> 18	13 <sup>-</sup>		A	J <sup>π</sup> : from ΔJ(269γ,D+Q)=-1 to 12 <sup>-</sup> 2661 keV level in <sup>96</sup> Zr( <sup>14</sup> N,4n).
3017.2@ 3	11 <sup>+</sup>		A	
3179.8 <sup>d</sup> 6	15 <sup>-</sup>		A	
3216.2@ 11	12 <sup>+</sup>		A	
3256.87 <sup>b</sup> 20	14 <sup>-</sup>		A	J <sup>π</sup> : from ΔJ(326γ,D+Q)=-1 to 13 <sup>-</sup> 2930 keV level in <sup>96</sup> Zr( <sup>14</sup> N,4n).
3260.0 <sup>e</sup> 3	12 <sup>+</sup>		A	
3297.1 <sup>&amp;</sup> 3	14 <sup>-</sup>		A	
3446.2@ 15	13 <sup>+</sup>		A	
3490.2 3	13 <sup>+</sup>		A	
3686.45 <sup>c</sup> 21	15 <sup>-</sup>		A	J <sup>π</sup> : from ΔJ(429γ,D+Q)=-1 to 14 <sup>-</sup> 3257 keV level in <sup>96</sup> Zr( <sup>14</sup> N,4n).
3704.2@ 18	14 <sup>+</sup>		A	
3748.6 3	14 <sup>+</sup>		A	
3785.4 5	(12)		A	
3871.5 5	(14)		A	
3891.2 <sup>a</sup> 4	15 <sup>-</sup>		A	
4051.1@ 20	15 <sup>+</sup>	0.374 ps 21	A	
4094.8 4	15 <sup>+</sup>		A	
4223.3 <sup>b</sup> 3	16 <sup>-</sup>		A	
4456.0@ 20	16 <sup>+</sup>	0.354 ps 14	A	
4500.0 4	16 <sup>+</sup>		A	
4503.4 <sup>&amp;</sup> 5	16 <sup>-</sup>		A	

Continued on next page (footnotes at end of table)

**Adopted Levels, Gammas (continued)** **$^{106}\text{Ag}$  Levels (continued)**

E(level) <sup>†</sup>	J <sup>‡</sup>	T <sub>1/2</sub>	XREF	E(level) <sup>†</sup>	J <sup>‡</sup>	XREF
4742.8 <sup>c</sup> 5	17 <sup>-</sup>		A	5554.8 4	18 <sup>+</sup>	A
4921.2 <sup>@</sup> 20	17 <sup>+</sup>	0.234 ps 7	A	5801.4 <sup>&amp;</sup> 9	(18 <sup>-</sup> )	A
4965.3 4	17 <sup>+</sup>		A	6011.4 <sup>@</sup> 21	19 <sup>+</sup>	A
5127.3 <sup>a</sup> 8	(17 <sup>-</sup> )		A	6026.6 <sup>c</sup> 7	19 <sup>-</sup>	A
5414.9 <sup>b</sup> 8	(18 <sup>-</sup> )		A	6056.2 4	19 <sup>+</sup>	A
5424.5 <sup>@</sup> 21	18 <sup>+</sup>	0.215 ps +14-21	A	6436.4 <sup>a</sup> 10	(19 <sup>-</sup> )	A
5468.6 4	18 <sup>+</sup>		A	6760.8 <sup>b</sup> 9	(20 <sup>-</sup> )	A

<sup>†</sup> Calculated with a least-squares procedure using adopted gammas.<sup>‡</sup> Unless noted otherwise, based on observed band structure,  $\gamma\gamma$ -DCOQ, (directional correlation from oriented nuclei referred to quadrupole transitions method)  $\gamma$  lin pol.# Band(A): Member of a cascade built on 1<sup>+</sup> g.s.<sup>@</sup> Band(B): (2006De15). Magnetic dipole rotational band based on 11<sup>+</sup>. Proposed configuration= $\pi g_{9/2} \otimes v h_{11/2}^2 \otimes v(g_{7/2}/d_{5/2})$  $\pi g_{9/2} \otimes n(h_{11/2})^2 \otimes v g_{7/2}$  explains high spin bands in  $^{106}\text{Ag}$ . Other bands in  $^{106}\text{Ag}$  can be described by two quasiparticle configurations.<sup>&</sup> Band(C):  $\pi g_{9/2}^{-1} \otimes v h_{11/2}$ ,  $\alpha=0$  (2007Jo01).<sup>a</sup> Band(c):  $\pi g_{9/2}^{-1} \otimes v h_{11/2}$ ,  $\alpha=1$  (2007Jo01).<sup>b</sup> Band(D): Chiral partner of  $\pi g_{9/2}^{-1} \otimes v h_{11/2}$ ,  $\alpha=0$  (2005Jo20,2007Jo01).<sup>c</sup> Band(d): Chiral partner of  $\pi g_{9/2}^{-1} \otimes v h_{11/2}$ ,  $\alpha=1$  (2005Jo20,2007Jo01).<sup>d</sup> Band(E):  $\Delta J=1$  band based on 10<sup>-</sup> (1994Je11).<sup>e</sup> Band(F): Band based on 6<sup>+</sup>. Configuration= $\pi g_{9/2} \otimes v g_{7/2}$ . **$\gamma(^{106}\text{Ag})$** 

E <sub>i</sub> (level)	J <sup>π</sup> <sub>i</sub>	E <sub>γ</sub> #	I <sub>γ</sub> @	E <sub>f</sub>	J <sup>π</sup> <sub>f</sub>	Mult. <sup>†</sup>	δ <sup>‡</sup>	Comments
110.66	(2) <sup>+</sup>	110.66 4	100	0.0	1 <sup>+</sup>			
205.95	(3) <sup>+</sup>	95.28 4 205.90 8	100.0 9 1.80 15	110.66 (2) <sup>+</sup> 0.0 1 <sup>+</sup>				
234.66	(1 <sup>+</sup> ,2 <sup>+,3<sup>+</sup></sup> )	28.7 10 234.66 5	100	205.95 (3) <sup>+</sup> 0.0 1 <sup>+</sup>				
277.04	1 <sup>-</sup> ,2 <sup>-</sup>	166.34 10 277.04 4	0.92 14 100.0 9	110.66 (2) <sup>+</sup> 0.0 1 <sup>+</sup>				
328.87	5 <sup>+</sup>	239.257 29	100	89.66 6 <sup>+</sup>	[M1+E2]	0.02 2		Mult.: $\Delta\pi=\text{no}$ from decay scheme.
332.66	7 <sup>+</sup>	242.98 4	100	89.66 6 <sup>+</sup>	[M1+E2]	-0.15 2		Mult.: $\Delta\pi=\text{no}$ from decay scheme.
364.43	(2,3) <sup>-</sup>	87.40 4 158.50 6 253.77 4	21.1 6 7.79 28 100.0 26	277.04 1 <sup>-</sup> ,2 <sup>-</sup> 205.95 (3) <sup>+</sup> 110.66 (2) <sup>+</sup>				
389.16	3 <sup>+</sup>	154.51 5 278.48 5	100.0 30 89.1 30	234.66 (1 <sup>+</sup> ,2 <sup>+,3<sup>+</sup></sup> ) 110.66 (2) <sup>+</sup>				
416.62	(1 <sup>-</sup> )	139.62 8 305.94 7	20.9 26 100 5	277.04 1 <sup>-</sup> ,2 <sup>-</sup> 110.66 (2) <sup>+</sup>				
425.04	(2,3) <sup>-</sup>	147.99 7 219.10 6 314.38 6	22.3 10 27.5 15 100 4	277.04 1 <sup>-</sup> ,2 <sup>-</sup> 205.95 (3) <sup>+</sup> 110.66 (2) <sup>+</sup>				
449.11	(4) <sup>+</sup>	243.18 5	100	205.95 (3) <sup>+</sup>				
468.84		262.89 22	100	205.95 (3) <sup>+</sup>				
503.03	(3 <sup>+,4,5<sup>+</sup></sup> )	113.88 5 174.15 8 297.06 6	100.0 27 19.0 13 74 4	389.16 3 <sup>+</sup> 328.87 5 <sup>+</sup> 205.95 (3) <sup>+</sup>				

Continued on next page (footnotes at end of table)

## Adopted Levels, Gammas (continued)

 $\gamma(^{106}\text{Ag})$  (continued)

$E_i$ (level)	$J_i^\pi$	$E_\gamma$ #	$I_\gamma$ @	$E_f$	$J_f^\pi$	Mult. <sup>†</sup>	$\delta^\ddagger$	Comments
518.24	(3,4) <sup>-</sup>	153.80 4 312.29 7	100.0 9 18.2 9	364.43 205.95	(2,3) <sup>-</sup> (3) <sup>+</sup>			
542.58	6	209.88 6 213.55 10 453.00 10	100 12 94 25 93 9	332.66 328.87	7 <sup>+</sup> 5 <sup>+</sup> 89.66 6 <sup>+</sup>	D+Q D+Q	0.2 2 -0.03 9	
556.81	(5 <sup>+</sup> )	53.77 7 107.71 4 467.12 8	9.9 10 100.0 9 30.5 20	503.03 449.11	(3 <sup>+</sup> ,4,5 <sup>+</sup> ) (4) <sup>+</sup> 89.66 6 <sup>+</sup>			
565.14	(2,3) <sup>-</sup>	140.07 8 200.72 6 288.18 15 359.12 8 454.52 7	14.0 20 59 3 28.4 28 100 8 89 4	425.04 364.43 277.04 205.95 110.66	(2,3) <sup>-</sup> (2,3) <sup>-</sup> 1 <sup>-</sup> ,2 <sup>-</sup> (3) <sup>+</sup> (2) <sup>+</sup>			
596.07	1 <sup>-</sup> ,2 <sup>-</sup> ,3 <sup>-</sup>	361.40 7 485.43 10	100 4 37.0 21	234.66 110.66	(1 <sup>+</sup> ,2 <sup>+</sup> ,3 <sup>+</sup> ) (2) <sup>+</sup>			
597.26	1 <sup>-</sup> ,2 <sup>-</sup> ,3 <sup>-</sup>	320.20 6 391.20 14 486.73 11	100 4 15.1 18 60.7 28	277.04 205.95 110.66	1 <sup>-</sup> ,2 <sup>-</sup> (3) <sup>+</sup> (2) <sup>+</sup>			
602.77	(2 <sup>-</sup> ,3 <sup>-</sup> )	325.73 7	100	277.04	1 <sup>-</sup> ,2 <sup>-</sup>			
625.74	7 <sup>+</sup>	293.09 4 536.07 6	100 6 17 2	332.66 89.66	7 <sup>+</sup> 6 <sup>+</sup>	M1+E2 M1+E2	-0.17 8 ≈0.5	$I_\gamma$ : from (HI,xn $\gamma$ ). $I_\gamma$ : from (HI,xn $\gamma$ ).
661.31	1 <sup>-</sup>	384.27 7	100	277.04	1 <sup>-</sup> ,2 <sup>-</sup>			
676.29	(5 <sup>+</sup> )	173.26 8 227.19 5	13.9 12 100 3	503.03 449.11	(3 <sup>+</sup> ,4,5 <sup>+</sup> ) (4) <sup>+</sup>			
698.20	1 <sup>-</sup> ,2 <sup>-</sup> ,3 <sup>-</sup>	333.79 7 421.14 7	100 5 58 3	364.43 277.04	(2,3) <sup>-</sup> 1 <sup>-</sup> ,2 <sup>-</sup>			
712.15	(4 <sup>+</sup> )	116.09 6 383.28 10	100 4 86 7	596.07 328.87	1 <sup>-</sup> ,2 <sup>-</sup> ,3 <sup>-</sup> 5 <sup>+</sup>			
721.5	7 <sup>+</sup>	392.60 30 631.9 4	100 8 67 27	328.87 89.66	5 <sup>+</sup> 6 <sup>+</sup>	Q D		
730.43	(2 <sup>+</sup> )	524.48 12	100	205.95	(3) <sup>+</sup>			
741.58	(3 <sup>+</sup> ,4 <sup>+</sup> )	352.42 8 535.6 10	100 5 22 4	389.16 205.95	3 <sup>+</sup> (3) <sup>+</sup>			
765.24	6 <sup>-</sup>	222.50 10 432.40 11 436.75 7	2.8 6 2.8 6 2.8 6	542.58 332.66 328.87	6 7 <sup>+</sup> 5 <sup>+</sup>	[E1]		$E_\gamma$ : no final level within 0.29 keV. Mult.: $\Delta\pi$ =yes from decay scheme.
769.68	1 <sup>-</sup> ,2 <sup>-</sup> ,3 <sup>-</sup>	675.52 4 492.64 15	100 2 100	89.66 277.04	6 <sup>+</sup> 1 <sup>-</sup> ,2 <sup>-</sup>	E1(+M2)	0.00 13	
769.96	6	441.09 7	100	328.87	5 <sup>+</sup>	D+Q	0.15 5	$E_\gamma$ : taken from $^{103}\text{Rh}(\alpha,\text{ny})$ . Considered by the evaluators to be identical to the 439.9-keV $\gamma$ transition observed in $^{96}\text{Zr}(^{14}\text{N},4\text{n}\gamma)$ .
773.50	(5 <sup>+</sup> )	324.39 10	100	449.11	(4) <sup>+</sup>			
775.65	(4 <sup>+</sup> ,5)	272.62 8	100	503.03	(3 <sup>+</sup> ,4,5 <sup>+</sup> )			
797.48		468.61 10	100	328.87	5 <sup>+</sup>			
812.02	(3 <sup>-</sup> )	447.55 7 535.08 12	100 4 57 3	364.43 277.04	(2,3) <sup>-</sup> 1 <sup>-</sup> ,2 <sup>-</sup>			
816.49	(4 <sup>+</sup> )	427.23 9 487.76 11	54 5 100 6	389.16 328.87	3 <sup>+</sup> 5 <sup>+</sup>			
829.41	7 <sup>-</sup>	64.18 5 496.73 6 739.79 7	100 3 37 9 22 2	765.24 332.66 89.66	6 <sup>-</sup> 7 <sup>+</sup> 6 <sup>+</sup>	E1+M2 E1+M2	0.8 2 -0.06 14	
835.39	(2 <sup>+</sup> ,3 <sup>+</sup> )	600.73 11	100	234.66	(1 <sup>+</sup> ,2 <sup>+</sup> ,3 <sup>+</sup> )			

Continued on next page (footnotes at end of table)

## Adopted Levels, Gammas (continued)

 $\gamma(^{106}\text{Ag})$  (continued)

$E_i$ (level)	$J_i^\pi$	$E_\gamma$ <sup>#</sup>	$I_\gamma$ <sup>@</sup>	$E_f$	$J_f^\pi$	Mult. <sup>†</sup>	$\delta$ <sup>‡</sup>	Comments
861.58	(3 <sup>-</sup> ,4,5 <sup>-</sup> )	497.14 8	100	364.43	(2,3) <sup>-</sup>			
874.24	8 <sup>-</sup>	44.85 5	100 31	829.41	7 <sup>-</sup>			I <sub><math>\gamma</math></sub> : from (HI,xn $\gamma$ ). B(E1)(W.u.)=(3.5×10 <sup>-6</sup> II)
		541.57 4	41 3	332.66	7 <sup>+</sup>	E1(+M2)	0.00 2	I <sub><math>\gamma</math></sub> : from (HI,xn $\gamma$ ).
881.24	(6 <sup>+</sup> )	548.61 8	74 5	332.66	7 <sup>+</sup>			
		552.36 9	100 6	328.87	5 <sup>+</sup>			
887.68	(5 <sup>+</sup> )	211.43 10	26 4	676.29	(5 <sup>+</sup> )			
		438.55 7	100 5	449.11	(4) <sup>+</sup>			
902.98	1 <sup>-</sup> ,2 <sup>-</sup> ,3 <sup>-</sup>	625.94 20	100	277.04	1 <sup>-</sup> ,2 <sup>-</sup>			
912.38	(5,7) <sup>-</sup>	147.14 7	100	765.24	6 <sup>-</sup>			
917.37	1 <sup>-</sup> ,2 <sup>-</sup> ,3 <sup>-</sup>	492.32 17	100	425.04	(2,3) <sup>-</sup>			
923.10	(2 <sup>+</sup> ,3 <sup>+</sup> ,4 <sup>+</sup> )	533.94 12	100	389.16	3 <sup>+</sup>			
923.66	(1 <sup>+</sup> ,2 <sup>+</sup> )	689.00 10	100	234.66	(1 <sup>+</sup> ,2 <sup>+</sup> ,3 <sup>+</sup> )			
926.6	8 <sup>-</sup>	594.2 3	100	332.66	7 <sup>+</sup>			
927.26	(6 <sup>+</sup> )	594.54 15	23 5	332.66	7 <sup>+</sup>			
		598.37 7	100 5	328.87	5 <sup>+</sup>			
933.18	(5 <sup>+</sup> )	414.94 8	100	518.24	(3,4) <sup>-</sup>			
936.46	0 <sup>-</sup> ,1 <sup>-</sup>	659.42 9	100	277.04	1 <sup>-</sup> ,2 <sup>-</sup>			
944.82	(2 <sup>+</sup> ,3 <sup>+</sup> ,4 <sup>+</sup> )	738.87 13	100	205.95	(3) <sup>+</sup>			
961.76	8 <sup>+</sup>	629.17 7	100 17	332.66	7 <sup>+</sup>	M1+E2	6 2	I <sub><math>\gamma</math></sub> : from (HI,xn $\gamma$ ). Mult.: Δπ=no from decay scheme.
		872.00 8	64 23	89.66	6 <sup>+</sup>	E2		I <sub><math>\gamma</math></sub> : from (HI,xn $\gamma$ ).
979.14	8 <sup>+</sup>	353.44 8	100	625.74	7 <sup>+</sup>	M1+E2	0.05 2	
1001.87	(2 <sup>-</sup> ,3 <sup>-</sup> ,4 <sup>-</sup> )	637.43 8	100	364.43	(2,3) <sup>-</sup>			
1003.41		797.46 10	100	205.95	(3) <sup>+</sup>			
1043.90	9 <sup>-</sup>	169.64 6	100	874.24	8 <sup>-</sup>	D+Q	0.04 2	
1063.18	(4 <sup>+</sup> ,5 <sup>+</sup> )	386.90 8	100	676.29	(5 <sup>+</sup> )			
1086.86	(4 <sup>-</sup> ,5 <sup>-</sup> )	568.62 9	100	518.24	(3,4) <sup>-</sup>			
1106.33	(3 <sup>-</sup> ,4 <sup>-</sup> )	588.09 8	100	518.24	(3,4) <sup>-</sup>			
1123.55	(5 <sup>-</sup> ,6 <sup>-</sup> )	605.31 10	100	518.24	(3,4) <sup>-</sup>			
1133.88	(4 <sup>+</sup> )	805.01 14	100	328.87	5 <sup>+</sup>			
1135.66	(2 <sup>-</sup> ,3 <sup>-</sup> ,4 <sup>-</sup> )	274.08 8	100	861.58	(3 <sup>-</sup> ,4,5 <sup>-</sup> )			
1145.06	(2 <sup>-</sup> ,3 <sup>-</sup> ,4 <sup>-</sup> )	780.62 10	100	364.43	(2,3) <sup>-</sup>			
1150.07	(2 <sup>+</sup> ,3 <sup>+</sup> ,4 <sup>+</sup> )	760.90 15	100	389.16	3 <sup>+</sup>			
1166.8	(2 <sup>-</sup> ,3 <sup>-</sup> ,4 <sup>-</sup> )	802.39 28	100	364.43	(2,3) <sup>-</sup>			
1224.67	(6,7) <sup>-</sup>	459.43 8	100	765.24	6 <sup>-</sup>			
1230.03	(2 <sup>-</sup> ,3 <sup>-</sup> ,4 <sup>-</sup> )	418.01 15	100	812.02	(3 <sup>-</sup> )			
1263.13		219.22 7	100	1043.90	9 <sup>-</sup>			
1288.98	(4 <sup>+</sup> ,5 <sup>+</sup> )	960.11 14	100	328.87	5 <sup>+</sup>			
1303.26	(5 <sup>-</sup> ,6 <sup>-</sup> ,7 <sup>-</sup> )	538.01 7	100	765.24	6 <sup>-</sup>			
1329.54	(3 <sup>-</sup> ,4 <sup>-</sup> )	811.30 15	100	518.24	(3,4) <sup>-</sup>			
1387.58	9 <sup>+</sup>	1054.90 7	100	332.66	7 <sup>+</sup>	[E2]		Mult.: Δπ=no from decay scheme.
1413.26	(5,6) <sup>-</sup>	648.01 8	100	765.24	6 <sup>-</sup>			
1420.72	10 <sup>-</sup>	376.81 5	100.0 4	1043.90	9 <sup>-</sup>	D+Q	0.04 2	E <sub><math>\gamma</math></sub> : no final level within 0.70 keV.
		546.6 2	7.3 16	874.24	8 <sup>-</sup>			
1533.14		270.01 8	100	1263.13				
1553.01	10 <sup>-</sup>	509.5 2	100 23	1043.90	9 <sup>-</sup>			
		625.2 3	35 9	927.26	(6 <sup>+</sup> )			
1571.95	9 <sup>+</sup>	592.6 4	99 15	979.14	8 <sup>+</sup>	D+Q	0.15 10	
		945.7 3	100 20	625.74	7 <sup>+</sup>	Q		
1764.13	11 <sup>-</sup>	343.45 5	100 5	1420.72	10 <sup>-</sup>	D(+Q)	0.00 2	B(E2)(W.u.)=66 15
		719.7 2	38 4	1043.90	9 <sup>-</sup>	E2		

Continued on next page (footnotes at end of table)

**Adopted Levels, Gammas (continued)** $\gamma(^{106}\text{Ag})$  (continued)

$E_i$ (level)	$J_i^\pi$	$E_\gamma^\#$	$I_\gamma @$	$E_f$	$J_f^\pi$	Mult. <sup>†</sup>	$\delta^\ddagger$	Comments
<u><math>\gamma(^{106}\text{Ag})</math> (continued)</u>								
1863.0	9 <sup>-</sup>	989.9 4	100	874.24	8 <sup>-</sup>			
1902.22	10 <sup>+</sup>	330.0 2	58 10	1571.95	9 <sup>+</sup>			
		923.4 2	100 14	979.14	8 <sup>+</sup>	Q		
1925.67	11 <sup>-</sup>	372.7 1	100 32	1553.01	10 <sup>-</sup>			
		504.8 2	61 13	1420.72	10 <sup>-</sup>			
1957.62	11 <sup>(-)</sup>	536.9 2	100	1420.72	10 <sup>-</sup>	D+Q	-0.3 2	
2033.48	9 <sup>-</sup>	989.4 4	100 3	1043.90	9 <sup>-</sup>	D+Q		Mult.: no $\delta$ given.
		1204.2 2	31 3	829.41	7 <sup>-</sup>	Q		
2114.51	10 <sup>+</sup>	726.9 2	63 14	1387.58	9 <sup>+</sup>			
		1153.0 10	100 33	961.76	8 <sup>+</sup>	Q		
2247.42	12 <sup>-</sup>	321.9 2	100 15	1925.67	11 <sup>-</sup>			
		694.4 2	9 3	1553.01	10 <sup>-</sup>			
2254.47	12 <sup>-</sup>	490.1 4	100 13	1764.13	11 <sup>-</sup>	D		
		833.9 4	19 4	1420.72	10 <sup>-</sup>	E2		B(E2)(W.u.)=34 14 Mult.: E2 from RUL.
2272.3	10 <sup>-</sup>	409.0 2	77 32	1863.0	9 <sup>-</sup>			
		508		1764.13	11 <sup>-</sup>			
		851		1413.26	(5,6) <sup>-</sup>			
		1228.4 1	73 3	1043.90	9 <sup>-</sup>	D+Q	-0.5 3	
		1398.3 3	100 5	874.24	8 <sup>-</sup>	Q		
2441.60	11 <sup>-</sup>	169.4 2	53 8	2272.3	10 <sup>-</sup>			$E_\gamma, I_\gamma$ : from <a href="#">1981Po06</a> in $^{96}\text{Zr}(^{14}\text{N},4\text{n})$ .
		408.2 2	57 6	2033.48	9 <sup>-</sup>	D+Q	0.07 5	$E_\gamma, I_\gamma, \text{Mult.}, \delta$ : from <a href="#">1981Po06</a> in $^{96}\text{Zr}(^{14}\text{N},4\text{n})$ . $\text{Mult.}, \delta$ : if $J^\pi$ of 2441.60 (11 <sup>-</sup> ), 2033.48 (9 <sup>-</sup> ) levels are correct D+Q is impossible.
		678		1764.13	11 <sup>-</sup>			
		1020.8 1	100 4	1420.72	10 <sup>-</sup>	D+Q		$E_\gamma, I_\gamma, \text{Mult.}$ : from $^{96}\text{Zr}(^{14}\text{N},4\text{n})$ ( <a href="#">1981Po06</a> ). $\delta \geq -0.44$ , $\leq -0.06$ or $\geq 0.4$ , $\leq 0.9$ .
		1054.0 5	13 6	1387.58	9 <sup>+</sup>			
		1398		1043.90	9 <sup>-</sup>			$E_\gamma$ : from $^{100}\text{Mo}(^{10}\text{B},4\text{n}\gamma)$ ( <a href="#">2005Jo20</a> ).
2512.69	13 <sup>-</sup>	265.3 1	100 12	2247.42	12 <sup>-</sup>			
		586.7 3	40 12	1925.67	11 <sup>-</sup>			
2572.0	11 <sup>+</sup>	1184.3 4	100	1387.58	9 <sup>+</sup>	Q		
2660.79	12 <sup>-</sup>	219.2 1	100	2441.60	11 <sup>-</sup>	D+Q	0.06 2	$E_\gamma, I_\gamma, \text{Mult.}$ : from $^{96}\text{Zr}(^{14}\text{N},4\text{n})$ ( <a href="#">1981Po06</a> ).
		389		2272.3	10 <sup>-</sup>			
		407		2254.47	12 <sup>-</sup>			
		897		1764.13	11 <sup>-</sup>			
		1240		1420.72	10 <sup>-</sup>			
2745.2	13 <sup>-</sup>	304		2441.60	11 <sup>-</sup>			
		491.2 5	100 5	2254.47	12 <sup>-</sup>	D		
		981.2 7	41 6	1764.13	11 <sup>-</sup>	E2		B(E2)(W.u.)=22 8 Mult.: E2 from RUL.
2764.5	14 <sup>-</sup>	252.2 1	100	2512.69	13 <sup>-</sup>			
2930.58	13 <sup>-</sup>	269.8 1	100 8	2660.79	12 <sup>-</sup>	D+Q	0.11 2	
		488.5 4	13 5	2441.60	11 <sup>-</sup>			
		676		2254.47	12 <sup>-</sup>			
		1167		1764.13	11 <sup>-</sup>			
3017.2	11 <sup>+</sup>	1115.1 3	100	1902.22	10 <sup>+</sup>			
3179.8	15 <sup>-</sup>	414.9 5	100	2764.5	14 <sup>-</sup>			
3256.87	14 <sup>-</sup>	326.3 1	100 14	2930.58	13 <sup>-</sup>	D+Q	0.08 5	
		512		2745.2	13 <sup>-</sup>			
		596.2 3	33 11	2660.79	12 <sup>-</sup>			
		1003		2254.47	12 <sup>-</sup>			
3260.0	12 <sup>+</sup>	687.9 3	63 14	2572.0	11 <sup>+</sup>			
		1145.3 5	100 30	2114.51	10 <sup>+</sup>			

Continued on next page (footnotes at end of table)

**Adopted Levels, Gammas (continued)** $\gamma(^{106}\text{Ag})$  (continued)

$E_i$ (level)	$J_i^\pi$	$E_\gamma^\#$	$I_\gamma @$	$E_f$	$J_f^\pi$	Mult. <sup>†</sup>	$\delta^\ddagger$
3297.1	14 <sup>-</sup>	551.9 2 637	100 14	2745.2	13 <sup>-</sup>		
		1042.3 3	21 7	2660.79	12 <sup>-</sup>		
3446.2	13 <sup>+</sup>	230	100	2254.47	12 <sup>-</sup>		
3490.2	13 <sup>+</sup>	230.2 1	100 18	3216.2	12 <sup>+</sup>		
		473.0 2	29 7	3260.0	12 <sup>+</sup>		
3686.45	15 <sup>-</sup>	389		3017.2	11 <sup>+</sup>		
		429.6 1	100 18	3297.1	14 <sup>-</sup>		
		755.6 3	42 9	3256.87	14 <sup>-</sup>	D+Q	0.08 6
				2930.58	13 <sup>-</sup>		
3704.2	14 <sup>+</sup>	258	100	3446.2	13 <sup>+</sup>		
3748.6	14 <sup>+</sup>	258.4 1	100	3490.2	13 <sup>+</sup>		
3785.4	(12)	1213.4 4	100	2572.0	11 <sup>+</sup>		
3871.5	(14)	611.5 4	100	3260.0	12 <sup>+</sup>		
3891.2	15 <sup>-</sup>	593.9 2	100 27	3297.1	14 <sup>-</sup>		
		1146.4 3	75 12	2745.2	13 <sup>-</sup>		
4094.8	15 <sup>+</sup>	346.7	100	3748.6	14 <sup>+</sup>		
4223.3	16 <sup>-</sup>	536.6 3	100 14	3686.45	15 <sup>-</sup>		
		926		3297.1	14 <sup>-</sup>		
		966.7 4	22 10	3256.87	14 <sup>-</sup>		
4456.0	16 <sup>+</sup>	404.7		4051.1	15 <sup>+</sup>		
		752.0		3704.2	14 <sup>+</sup>		
4500.0	16 <sup>+</sup>	405.1 1	100 15	4094.8	15 <sup>+</sup>		
		752.5 3	18 5	3748.6	14 <sup>+</sup>		
4503.4	16 <sup>-</sup>	612.1 4	100 21	3891.2	15 <sup>-</sup>		
		1206.6 6	54 18	3297.1	14 <sup>-</sup>		
4742.8	17 <sup>-</sup>	519.2 5	62 10	4223.3	16 <sup>-</sup>		
		1056.5 5	100 27	3686.45	15 <sup>-</sup>		
4921.2	17 <sup>+</sup>	464.8		4456.0	16 <sup>+</sup>		
		870.0		4051.1	15 <sup>+</sup>		
4965.3	17 <sup>+</sup>	465.4 1	100 19	4500.0	16 <sup>+</sup>		
		870.9 5	30 10	4094.8	15 <sup>+</sup>		
5127.3	(17 <sup>-</sup> )	624		4503.4	16 <sup>-</sup>		
		1236		3891.2	15 <sup>-</sup>		
5414.9	(18 <sup>-</sup> )	672		4742.8	17 <sup>-</sup>		
		1192		4223.3	16 <sup>-</sup>		
5424.5	18 <sup>+</sup>	503.0		4921.2	17 <sup>+</sup>		
		969.0		4456.0	16 <sup>+</sup>		
5468.6	18 <sup>+</sup>	503.2 1	100 14	4965.3	17 <sup>+</sup>		
		968.3 2	54 11	4500.0	16 <sup>+</sup>		
5554.8	18 <sup>+</sup>	588.9 2	100 17	4965.3	17 <sup>+</sup>		
		1054.3 3	76 32	4500.0	16 <sup>+</sup>		
5801.4	(18 <sup>-</sup> )	674		5127.3	(17 <sup>-</sup> )		
		1298		4503.4	16 <sup>-</sup>		
6011.4	19 <sup>+</sup>	587		5424.5	18 <sup>+</sup>		
		1090		4921.2	17 <sup>+</sup>		
6026.6	19 <sup>-</sup>	1283.8 5	100	4742.8	17 <sup>-</sup>		
6056.2	19 <sup>+</sup>	586.8 2	91 17	5468.6	18 <sup>+</sup>		
		1091.5 4	100 15	4965.3	17 <sup>+</sup>		
6436.4	(19 <sup>-</sup> )	635		5801.4	(18 <sup>-</sup> )		
		1309		5127.3	(17 <sup>-</sup> )		
6760.8	(20 <sup>-</sup> )	734		6026.6	19 <sup>-</sup>		
		1346		5414.9	(18 <sup>-</sup> )		

<sup>†</sup> Deduced from  $\gamma(\theta)$  and  $\gamma\gamma$ -DCOQ (directional correlation from oriented nuclei referred to quadrupole transitions method)  $\gamma$  lin

Continued on next page (footnotes at end of table)

**Adopted Levels, Gammas (continued)** **$\gamma(^{106}\text{Ag})$  (continued)**

pol. and  $J^\pi$  assignments.

<sup>‡</sup> Deduced from  $\gamma(\theta)$  and  $\gamma\gamma$ -DCOQ (directional correlation from oriented nuclei referred to quadrupole transitions method).

<sup>#</sup> calculated with a least-squares procedure using gammas from (HI,xn $\gamma$ ),  $^{103}\text{Rh}(\alpha,\text{n}\gamma)$ ,  $^{104}\text{Pd}(\alpha,\text{p}\gamma)$  and  $^{106}\text{Pd}(\text{p},\text{n}\gamma)$  if all available, if not only available data sets used.

<sup>@</sup> Unless noted otherwise, relative photon branchings for each level were calculated with a least-squares procedure using data from (HI,xn $\gamma$ ),  $^{103}\text{Rh}(\alpha,\text{n}\gamma)$ ,  $^{104}\text{Pd}(\alpha,\text{p}\gamma)$  and  $^{106}\text{Pd}(\text{p},\text{n}\gamma)$  if all available, if not only available data sets used.

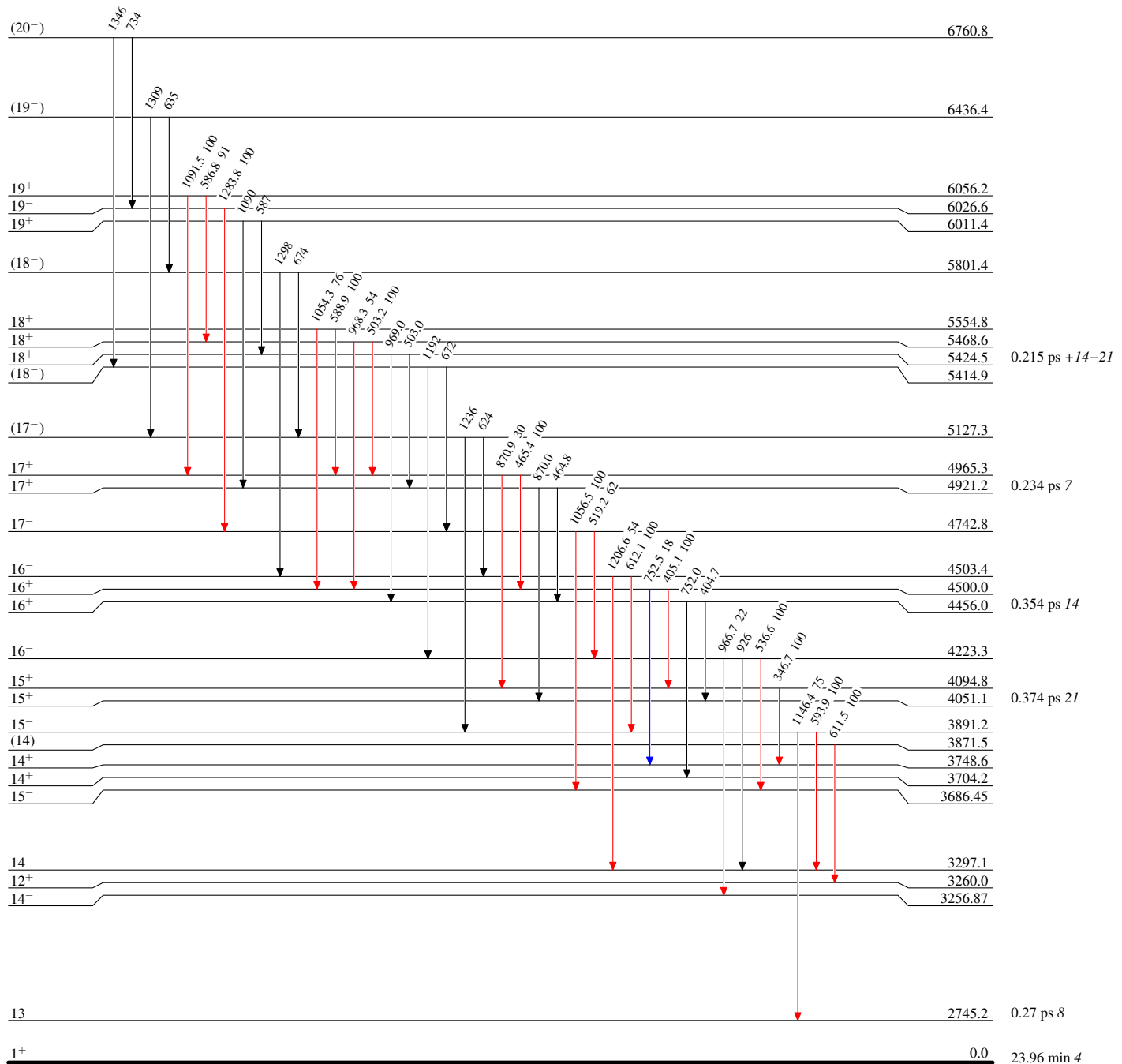
Adopted Levels, Gammas

## Legend

Level Scheme

Intensities: Type not specified

- $\longrightarrow$   $I_\gamma < 2\% \times I_{\gamma}^{\max}$
- $\xrightarrow{\quad}$   $I_\gamma < 10\% \times I_{\gamma}^{\max}$
- $\xrightarrow{\quad}$   $I_\gamma > 10\% \times I_{\gamma}^{\max}$

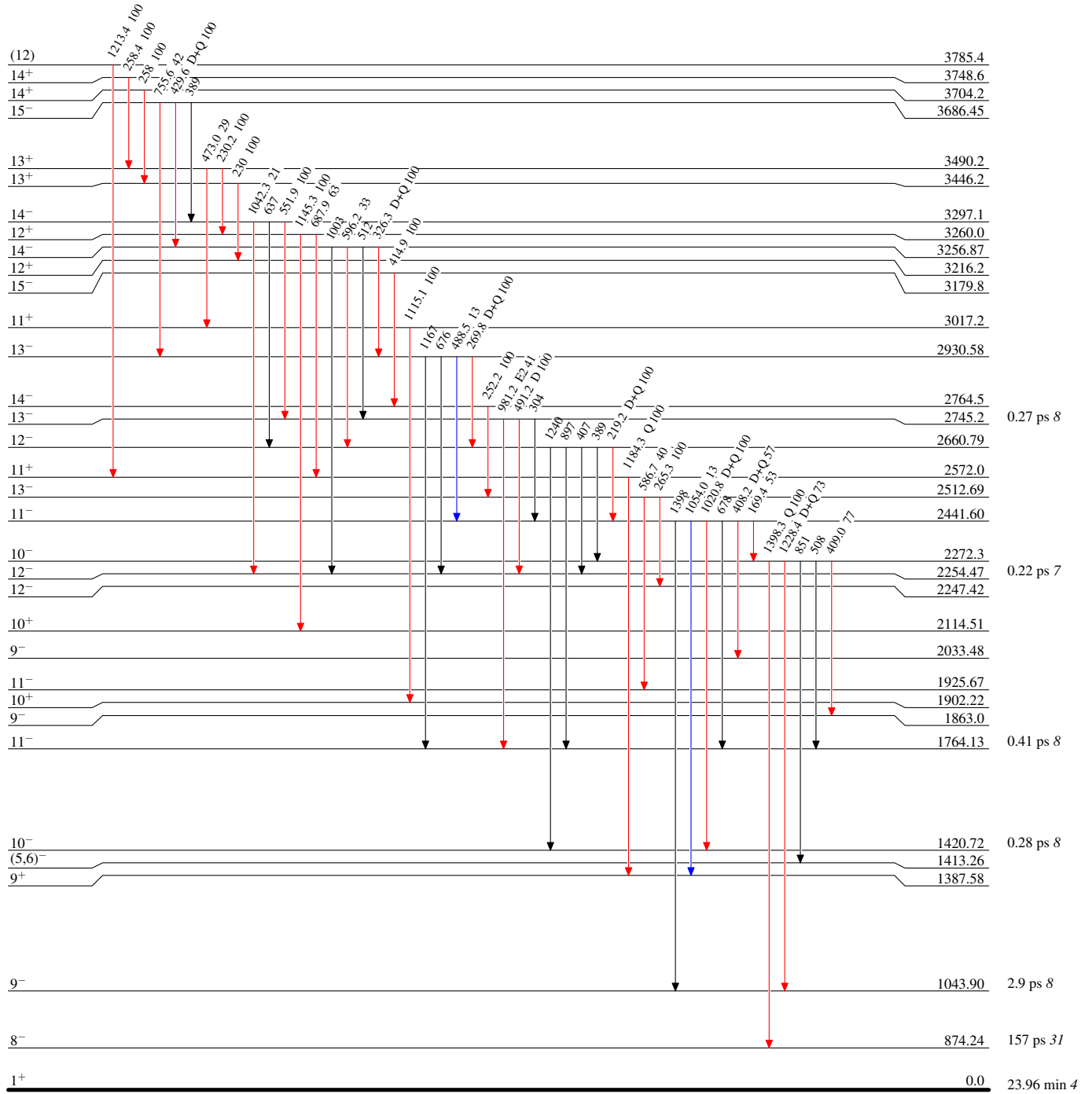


**Adopted Levels, Gammas****Level Scheme (continued)**

Intensities: Type not specified

**Legend**

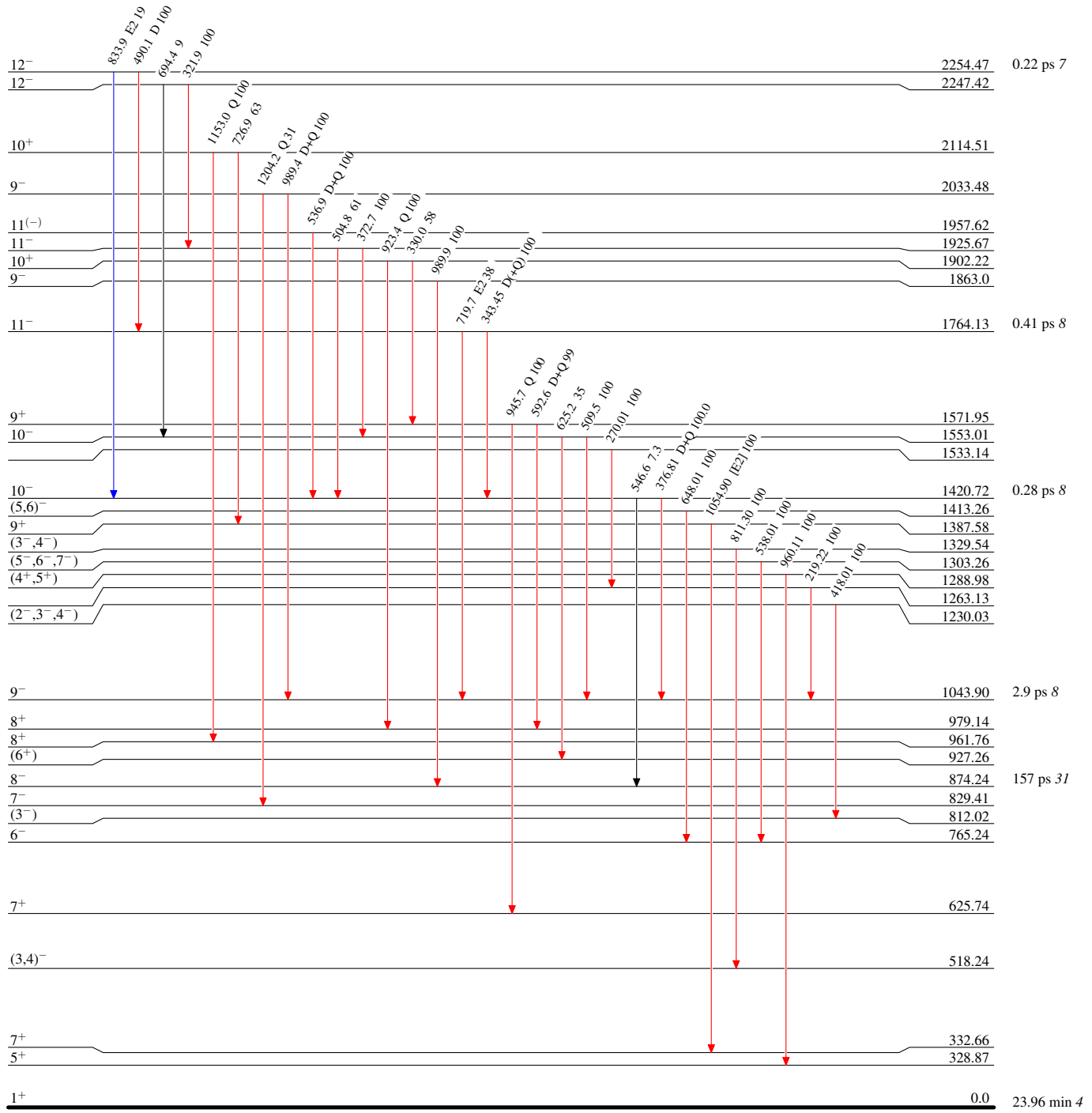
- $I_{\gamma} < 2\% \times I_{\gamma}^{\max}$
- $I_{\gamma} < 10\% \times I_{\gamma}^{\max}$
- $I_{\gamma} > 10\% \times I_{\gamma}^{\max}$

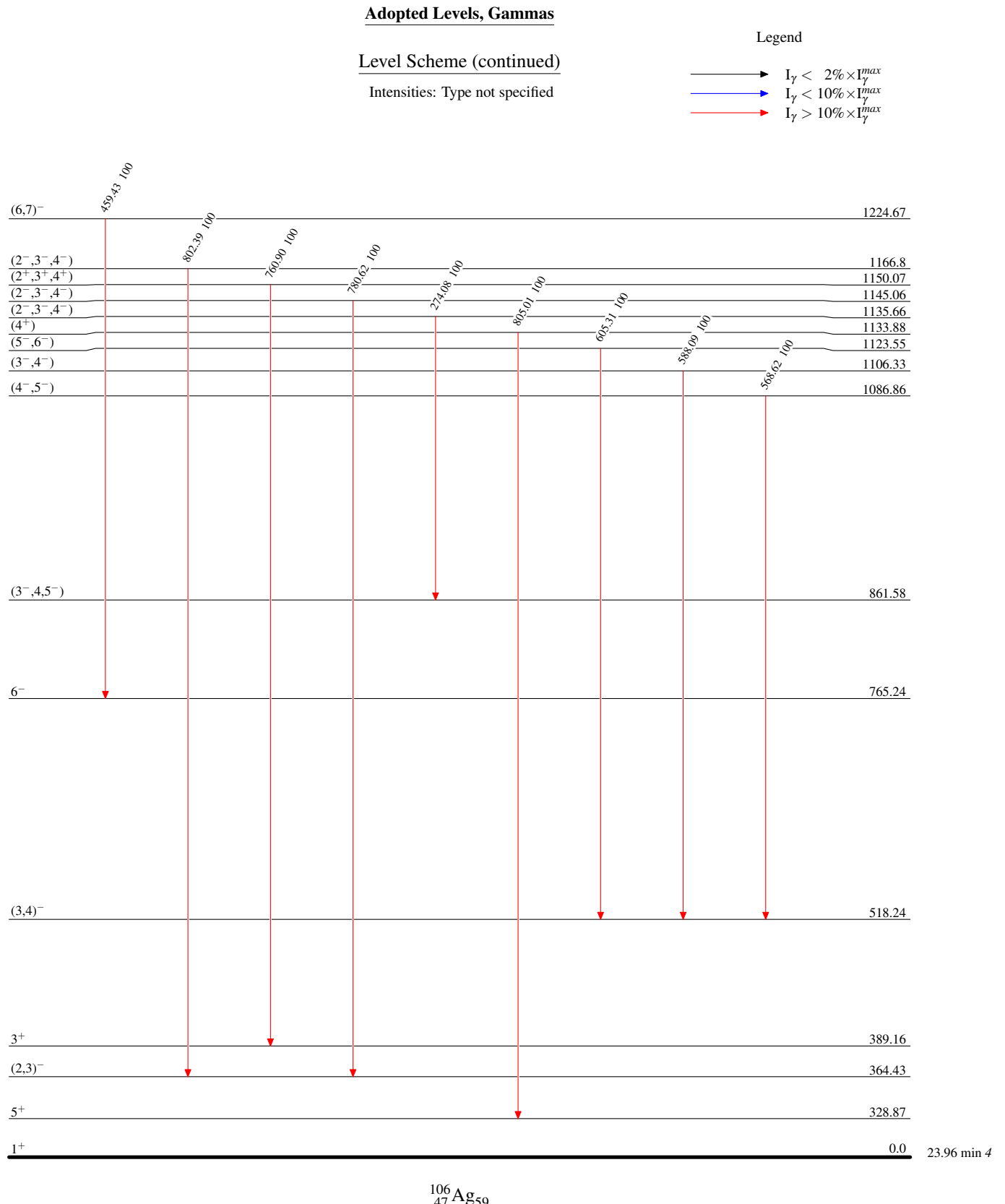


**Adopted Levels, Gammas****Level Scheme (continued)****Legend**

Intensities: Type not specified

- $\blacktriangleright$   $I_\gamma < 2\% \times I_\gamma^{\max}$
- $\bluetriangleleft$   $I_\gamma < 10\% \times I_\gamma^{\max}$
- $\redtriangleright$   $I_\gamma > 10\% \times I_\gamma^{\max}$



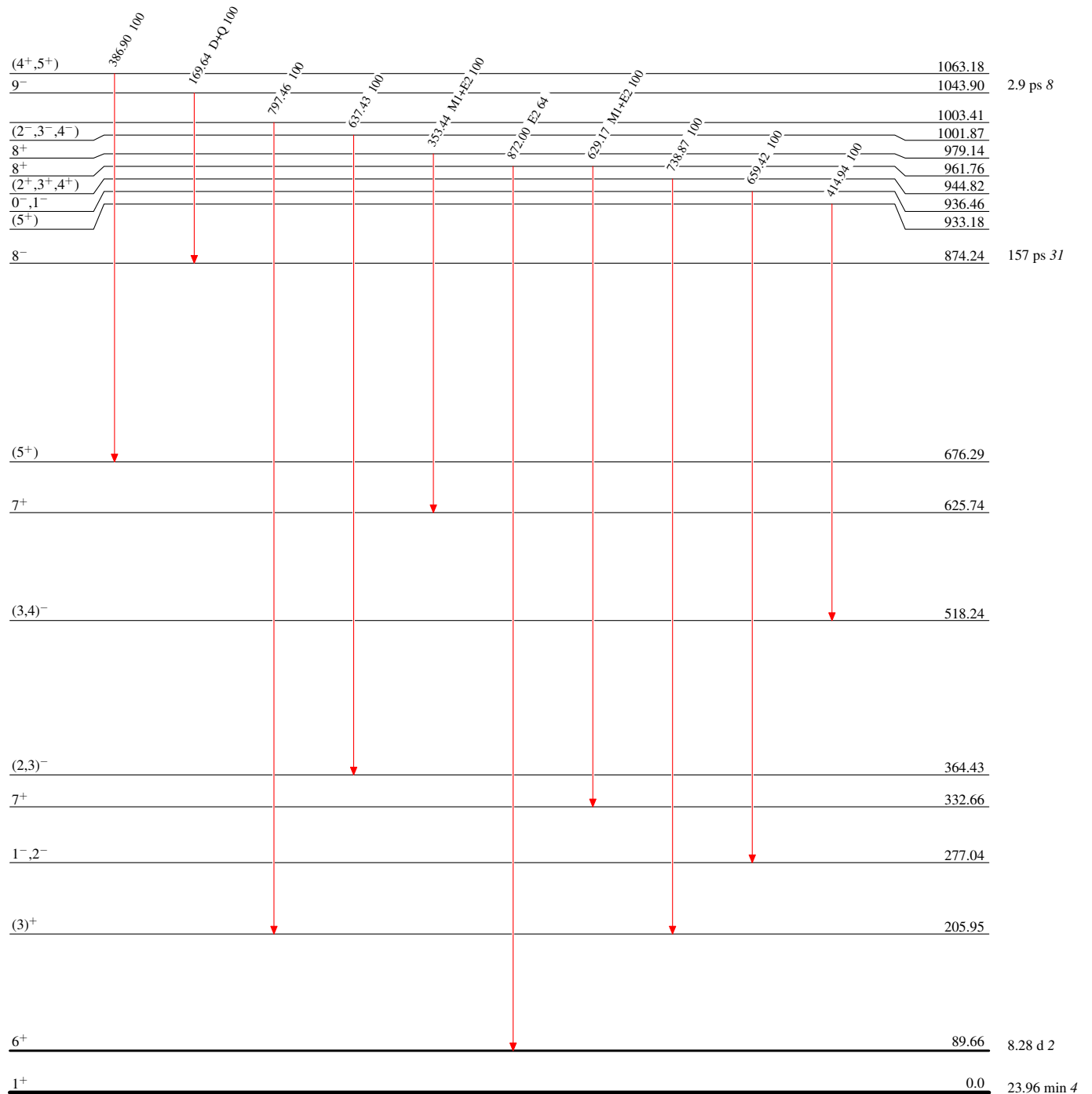


Adopted Levels, GammasLevel Scheme (continued)

Intensities: Type not specified

## Legend

- $I_\gamma < 2\% \times I_\gamma^{\max}$
- $I_\gamma < 10\% \times I_\gamma^{\max}$
- $I_\gamma > 10\% \times I_\gamma^{\max}$



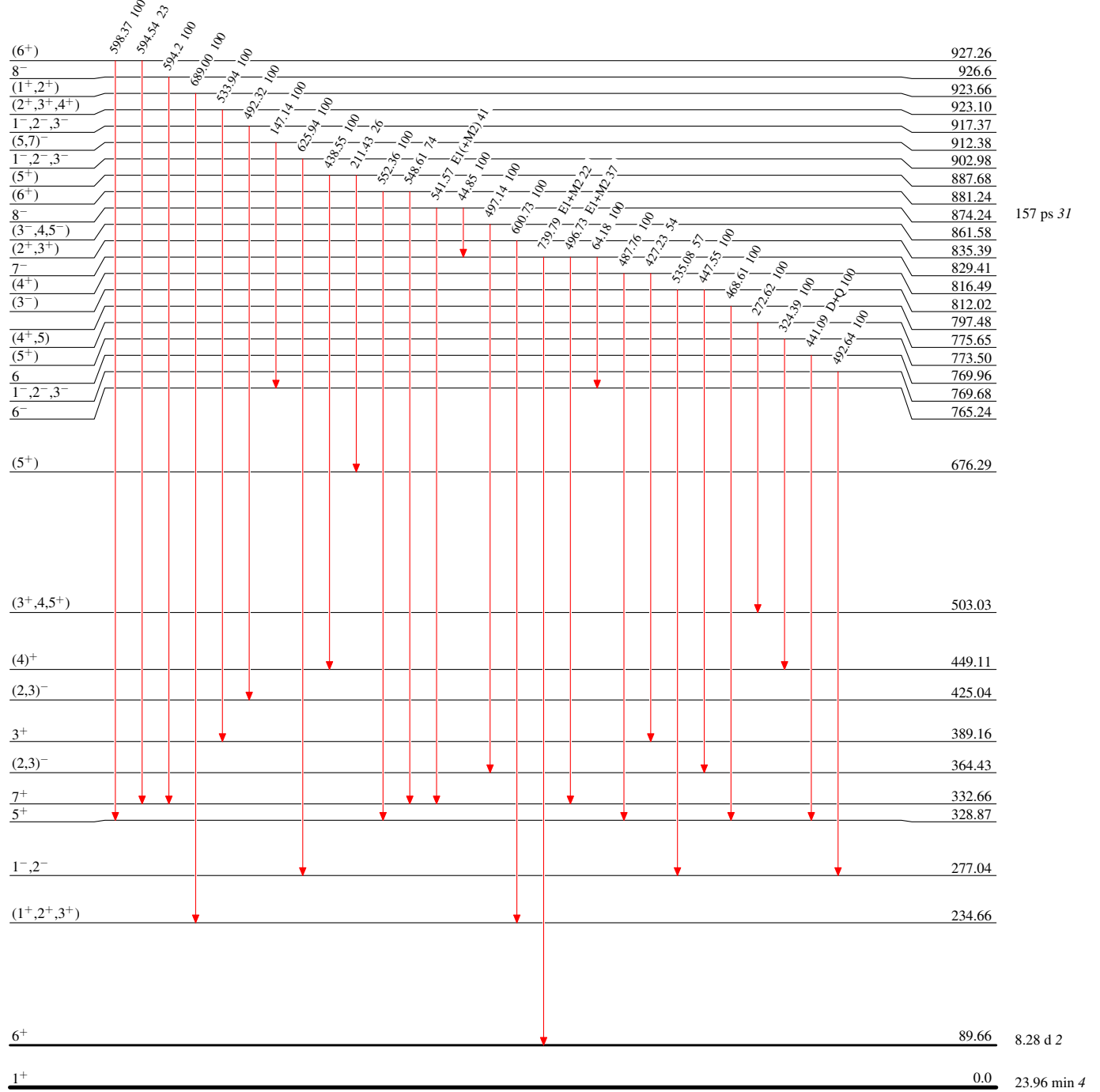
Adopted Levels, Gammas

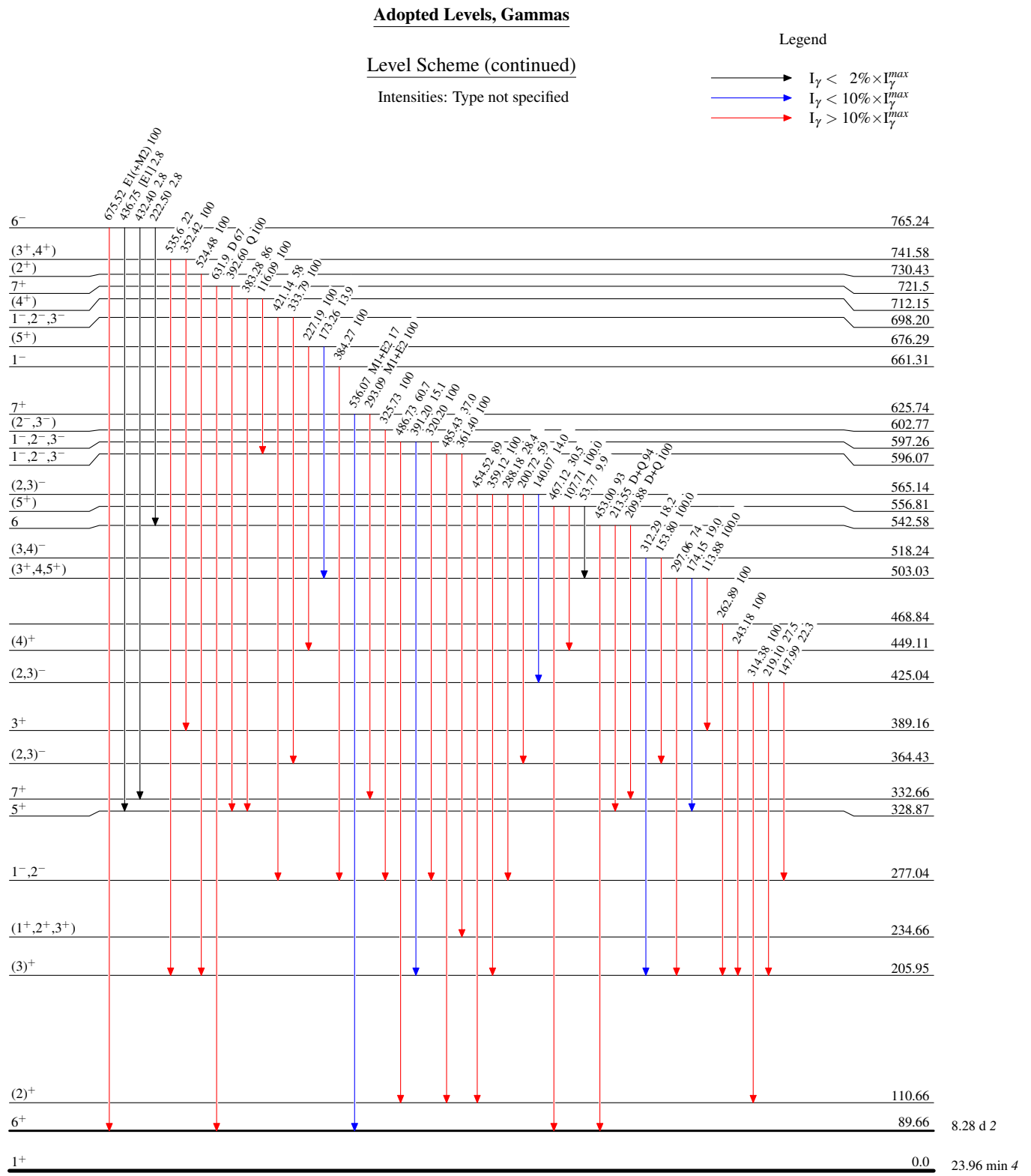
## Legend

Level Scheme (continued)

Intensities: Type not specified

- $I_{\gamma} < 2\% \times I_{\gamma}^{\max}$
- $I_{\gamma} < 10\% \times I_{\gamma}^{\max}$
- $I_{\gamma} > 10\% \times I_{\gamma}^{\max}$

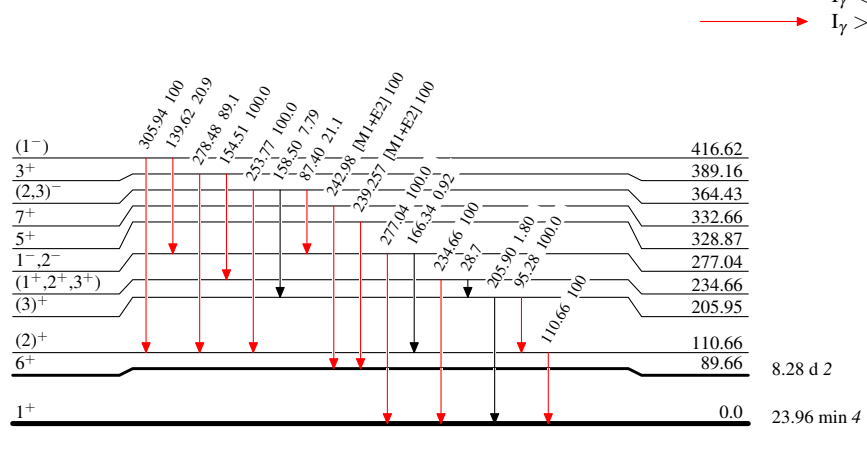


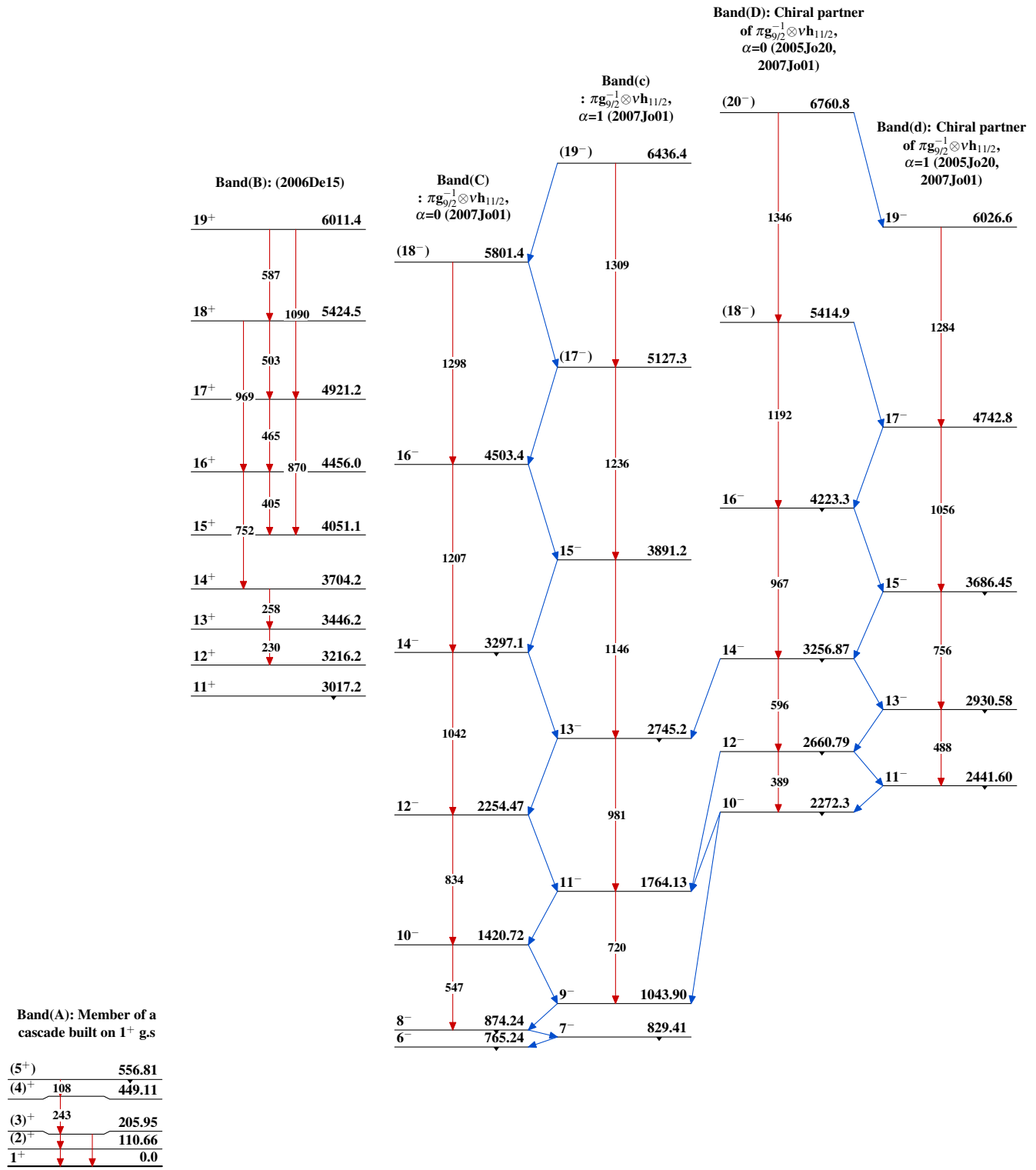


## Adopted Levels, Gammas

## Level Scheme (continued)

### Intensities: Type not specified



Adopted Levels, Gammas

Adopted Levels, Gammas (continued)